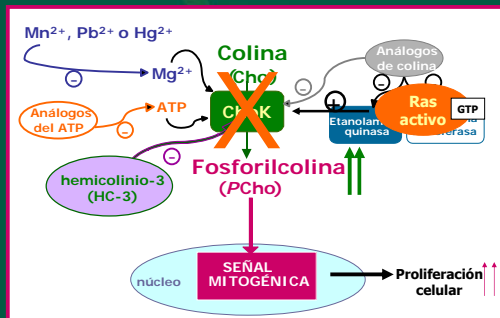
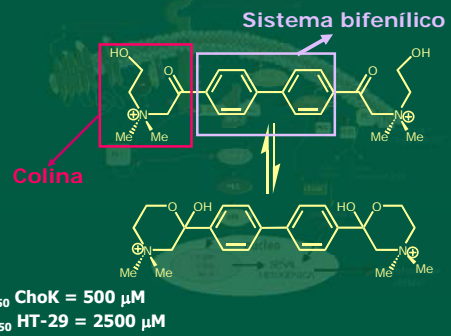


Inhibidores de la ChoK



HEMICOLINIO-3



Nuevos inhibidores de ChoK por farmacomodulación del HEMICOLINIO-3

Primera fase del estudio

Mejora de la actividad sobre ChoK y capacidad antiproliferativa

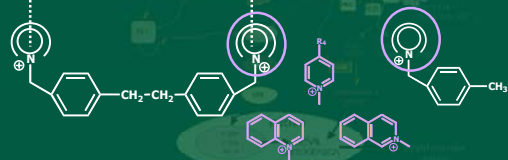


Khaless, F. Diseño y síntesis de compuestos antitumorales que interfieren con señales químicas inducidas por oncogenes. Tesis Doctoral, Universidad de Granada, 1998.

Nuevos inhibidores de ChoK por farmacomodulación del HEMICOLINIO-3

Segunda fase del estudio

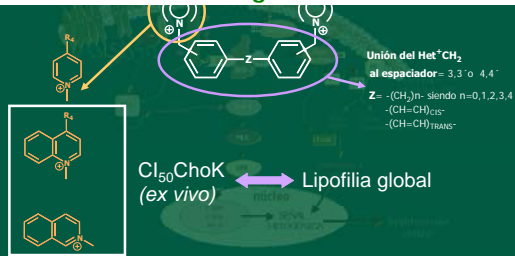
Elevada actividad antiproliferativa *in vivo*
Aumento de expectativa de vida de 143%



Núñez Carretero, M.C. Variaciones moleculares del hemicolinio-3: estudios QSAR/QSPR de nuevos inhibidores de colina quinasa y su relación con la actividad antiproliferativa en células transformadas por oncogenes *ras*. Tesis Doctoral, Universidad de Granada, 1999.

Nuevos inhibidores de ChoK por farmacomodulación del HEMICOLINIO-3

Importancia de las interacciones hidrofóbicas en la unión ligando-enzima

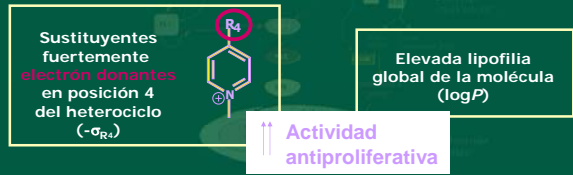


Díaz Mochón, J.J. Nuevas moléculas que interactúan con la ruta colina quinasa como posibles agentes antitumorales. *Tesis Doctoral*. Universidad de Granada. 2001.

Nuevos inhibidores de ChoK por farmacomodulación del HEMICOLINIO-3

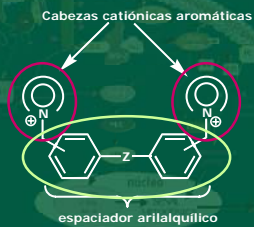
Estudios QSAR

Actividad antiproliferativa ↔ Parámetros electrónicos lipofílicos



Campos, J.M.; Núñez, M.C.; Sánchez, R.M.; Gómez-Vidal, J.A.; Rodríguez-González, A.; Báñez, M.; Gallo, M.A.; Lacal, J.C.; Espinosa, A. Quantitative Structure-Activity Relationships for a Series of Symmetrical Bisquaternary Anticancer Compounds. *Bioorg. Med. Chem.*, 2002, 10, 2215-2231.

Estructura general de los compuestos biquaternizados simétricos análogos del HC-3

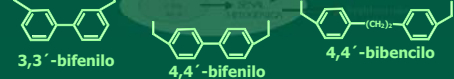


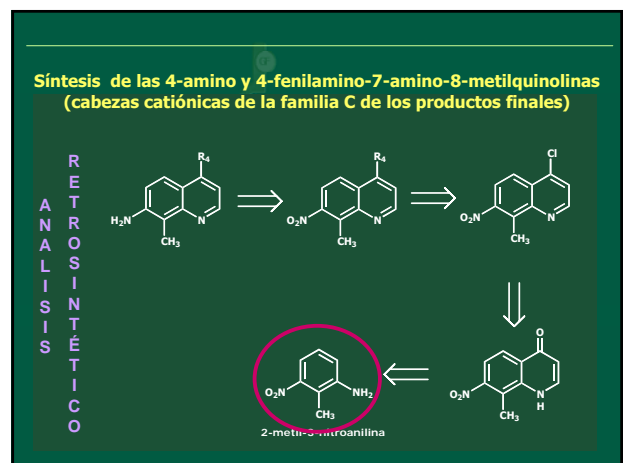
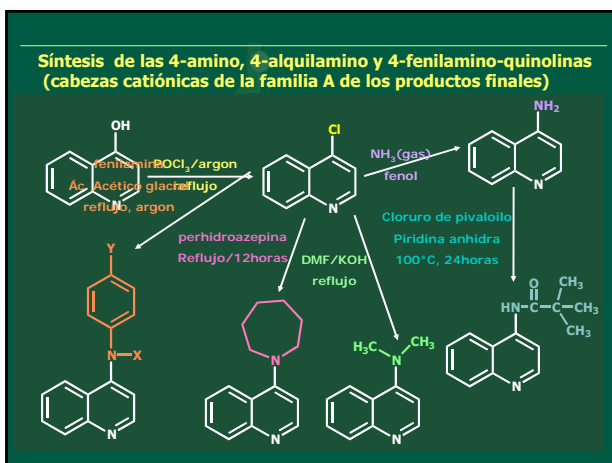
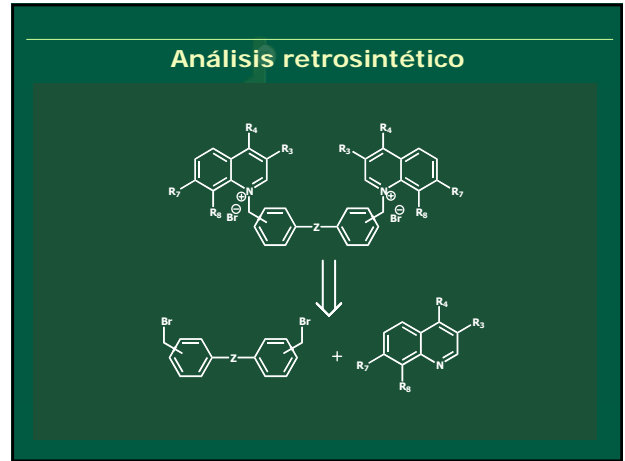
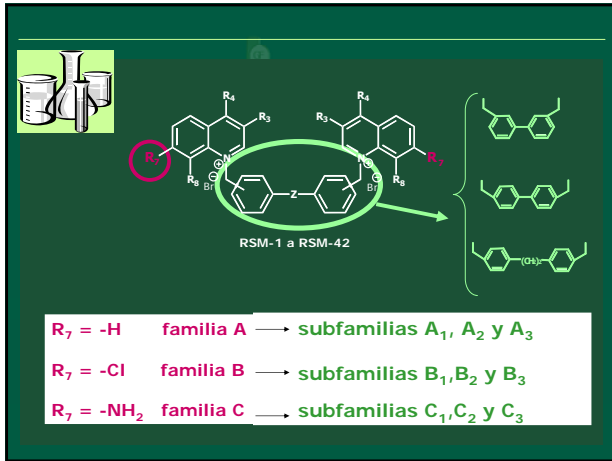
Modificación 1



Modificación 2

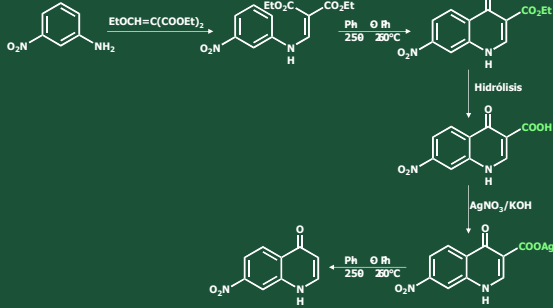
Modificación 3



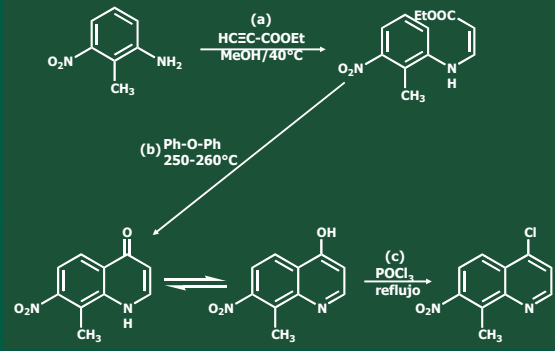


Síntesis de las 4-amino y 4-fenilamino-7-amino-8-metilquinolinas
(cabezas catiónicas de la familia C de los productos finales)

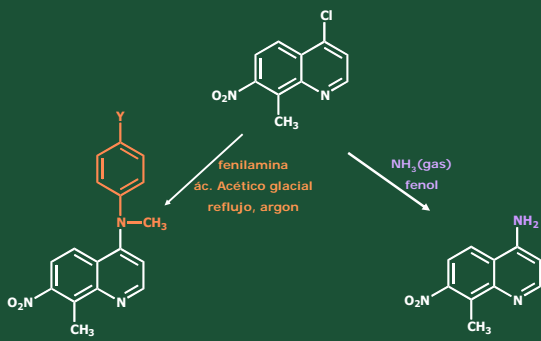
Método de Gould-Jacobs



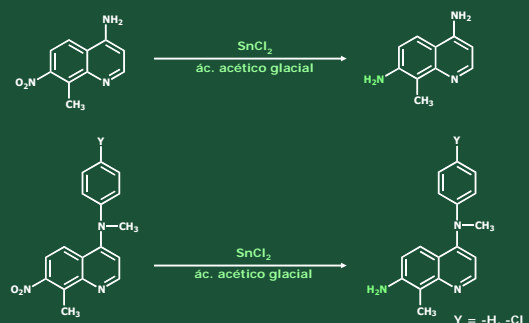
Síntesis de la 4-cloro-7-nitro-8-metilquinolina



Síntesis de las 4-amino y 4-fenilamino-7-nitro-8-metilquinolinas

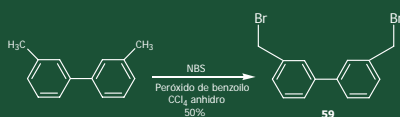


Síntesis de las 4-amino y 4-fenilamino-7-amino-8-metilquinolinas
(cabezas catiónicas de la familia C de los productos finales)



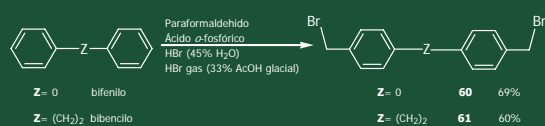
Síntesis de los espaciadores

Síntesis del 3,3'-bis(bromometil)bifenilo



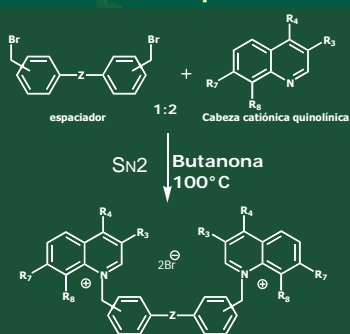
Síntesis de los espaciadores

Síntesis del 4,4'-bis(bromometil)bifenilo y 4,4'-bis(bromometil)bibencilo



Método de Cram y Steinberg

Síntesis de los compuestos finales



ENSAYOS BIOLÓGICOS

- Dr. Lacial y colaboradores-
Instituto de Investigaciones Biomédicas

Efecto de los compuestos finales sobre la actividad ChoK

- ensayos *ex vivo* ChoK humana aislada

Actividad antiproliferativa de los compuestos

- ensayos *in vitro* HT-29

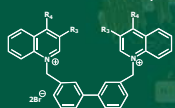
Toxicidad de los compuestos

- ensayos en ratones Swiss

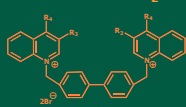
Estudio cualitativo estructura actividad (SAR)

Familia A

Subfamilia A₁



Subfamilia A₂

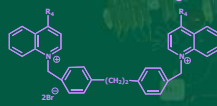


Compuesto	R ₃	R ₄	CI ₅₀ <i>ex vivo</i> ChoK (μM)	CI ₅₀ <i>in vitro</i> HT-29 (μM)
RSM-1	-H	-NH ₂	1.2	81.1
RSM-9	-H	-NH ₂	11.9	No inhibe
RSM-2	-CH ₃	-NH ₂	4.4	3.3
RSM-10	-H	-N(CH ₃) ₂	4.4	39.7
RSM-3	-H	-N(CH ₃) ₂	No inhibe	1.6
RSM-11	-H	-NHCO ^t Bu	14.4	1.7
RSM-4	-H	-NHCO ^t Bu	2.2	2.6
RSM-12	-H	-NHCO ^t Bu	0.5	0.5
RSM-5	-H	-NHCO ^t Bu	0.5	0.5
RSM-13	-H	-NHCO ^t Bu	1.3	1.6
RSM-6	-H	-NHCO ^t Bu	1.3	17.8
RSM-14	-H	-NHCO ^t Bu	0.4	3.0
RSM-7	-H	-NHCO ^t Bu	0.4	0.8
RSM-15	-H	-NHCO ^t Bu	2.1	2.0
RSM-8	-H	-NHCO ^t Bu	2.1	1.5
RSM-16	-H	-NHCO ^t Bu	2.1	1.2

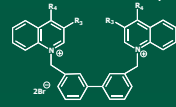
Estudio cualitativo estructura actividad (SAR)

Familia A

Subfamilia A₃



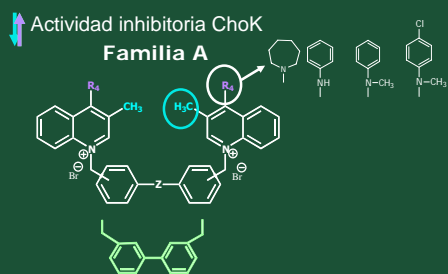
Subfamilia A₁



Compuesto	R ₄	CI ₅₀ <i>ex vivo</i> ChoK (μM)	CI ₅₀ <i>ex vivo</i> HT-29 (μM)	CI ₅₀ <i>in vitro</i> ChoK (μM)	CI ₅₀ <i>in vitro</i> HT-29 (μM)
RSM-17	-N(CH ₃) ₂	10.2	4.4	0.5	1.6
RSM-18	-N(CH ₃) ₂	0.6	0.5	0.3	0.5
RSM-19	-N(CH ₃) ₂	2.3	1.3	0.3	1.6
RSM-20	-N(CH ₃) ₂	1.4	0.4	0.7	0.8
RSM-21	-N(CH ₃) ₂	4.8	2.1	0.7	1.5

Estudio cualitativo estructura actividad (SAR)

Influencia del anillo de quinolinio sin sustitución en posición 7

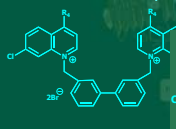


• La capacidad antiproliferativa frente a HT-29 está menos influida por el tipo de espaciador y de sustituyente en R₄

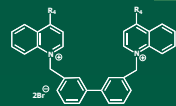
Estudio cualitativo estructura actividad (SAR)

Familia B

Subfamilia B₁



Subfamilia A₁

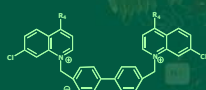


Compuesto	R ₄	CI ₅₀ <i>ex vivo</i> ChoK (μM)	CI ₅₀ <i>ex vivo</i> HT-29 (μM)	CI ₅₀ <i>in vitro</i> ChoK (μM)	CI ₅₀ <i>in vitro</i> HT-29 (μM)
RSM-22	-NH ₂	20.6	1.2	1.9	1.9
RSM-23	-NH ₂	0.7	1.6	0.4	0.5
RSM-24	-NH ₂	1.0	0.8	1.0	0.8
RSM-25	-NH ₂	5.7	2.1	1.9	1.5

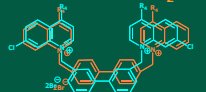
Estudio cualitativo estructura actividad (SAR)

Familia B

Subfamilia B₂



Subfamilia B₃

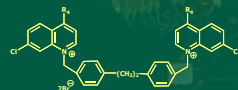


Compuesto	R ₄	CI ₅₀ <i>ex vivo</i> ChoK (μM)	CI ₅₀ <i>in vitro</i> HT-29 (μM)
RSM-27	-NH ₂	63.30	3.20
RSM-28	-N(CH ₃) ₂	20.60	0.80
RSM-29		19.80	2.40
RSM-30		11.40	1.00
RSM-31		11.40	1.20

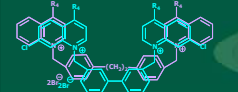
Estudio cualitativo estructura actividad (SAR)

Familia B

Subfamilia B₃



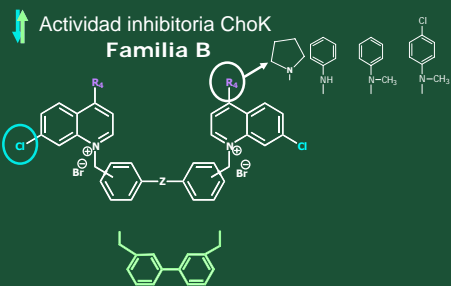
Subfamilia B₂



Compuesto	R ₄	CI ₅₀ <i>ex vivo</i> ChoK (μM)	CI ₅₀ <i>in vitro</i> HT-29 (μM)
RSM-32	-NH ₂	No inhibe	1.9
RSM-33	-N(CH ₃) ₂	9.0	0.3
RSM-34		1.0	0.2
RSM-35		3.5	0.5
RSM-36		5.7	0.8

Estudio cualitativo estructura actividad (SAR)

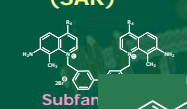
Influencia de la introducción de un cloro en posición 7 del anillo de quinolinio



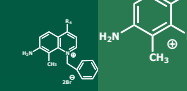
La actividad antiproliferativa apenas se ve afectada por la introducción del grupo cloro

Estudio cualitativo estructura actividad (SAR)

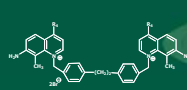
Familia C



Subfamilia C₁



Subfamilia C₂



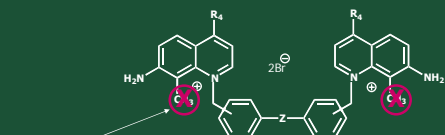
Subfamilia C₃

Compuesto	R ₄	CI ₅₀ <i>ex vivo</i> ChoK (μM)	CI ₅₀ <i>in vitro</i> HT-29 (μM)
RSM-37		56.8	0.4
RSM-38		146.9	2.1
RSM-39		3.0	25.2
RSM-40		2.0	19.4
RSM-41		132.6	1.4
RSM-42		57.5	4.8

Estudio cualitativo estructura actividad (SAR)

Influencia de la introducción de un amino en posición 7 del anillo de quinolinio

Familia C



- la potencia inhibitoria sobre la ChoK se ve drásticamente disminuida

Estudio cuantitativo estructura-actividad (QSAR)

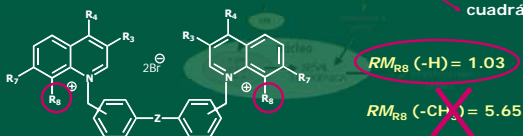
pCl_{50} HT-29 \longleftrightarrow parámetros electrónicos
 lipofílicos
 de volumen
 $\uparrow pCl_{50} = -\log(Cl_{50})$ \uparrow Actividad antiproliferativa

Estudio cuantitativo estructura-actividad (QSAR)

$$p(Cl_{50})_{HT-29} = -1.70 - 3.69 (\pm 0.35) RM_{R8} + 0.10 (\pm 0.02) \log P + 0.85 (\pm 0.19) \pi_{\text{espaciador}} - 3.79 (\pm 0.68) \sigma_{R4}$$

$n = 42, r = 0.928, s = 0.206, F_{4,37} = 57.04, \alpha < 0.001$

\downarrow actividad antiproliferativa \longleftrightarrow \uparrow RM_{R8}
 negativo
 cuadrático

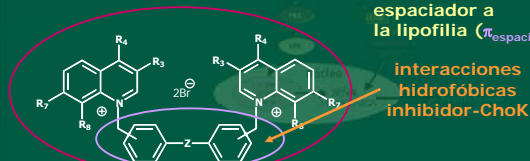


Estudio cuantitativo estructura-actividad (QSAR)

$$p(Cl_{50})_{HT-29} = -1.70 - 3.69 (\pm 0.35) RM_{R8} + 0.10 (\pm 0.02) \log P + 0.85 (\pm 0.19) \pi_{\text{espaciador}} - 3.79 (\pm 0.68) \sigma_{R4}$$

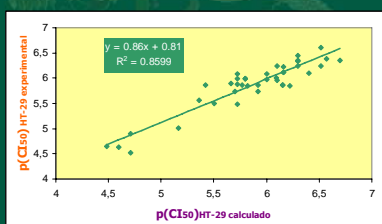
$n = 42, r = 0.928, s = 0.206, F_{4,37} = 57.04, \alpha < 0.001$

actividad antiproliferativa \longleftrightarrow lipofilia global ($\log P$)
 contribución del espaciador a la lipofilia ($\pi_{\text{espaciador}}$)



Estudio cuantitativo estructura-actividad (QSAR)

$p(\text{Cl50})_{\text{HT-29}} \text{ experim} = 0.81 + 0.86 (\pm 0.06) p(\text{Cl50})_{\text{HT-29}} \text{ calcul.}$
 $n = 42, r = 0.927, s = 0.186, F_{1,40} = 243.81, \alpha < 0.001$



Estudios de toxicidad

- ❑ Selección de los compuestos con mayor actividad antiproliferativa *in vitro*
- ❑ Administración intraperitoneal a ratones Swiss
- ❑ Dosis diaria durante cinco días y nueve de descanso

Estudios de toxicidad

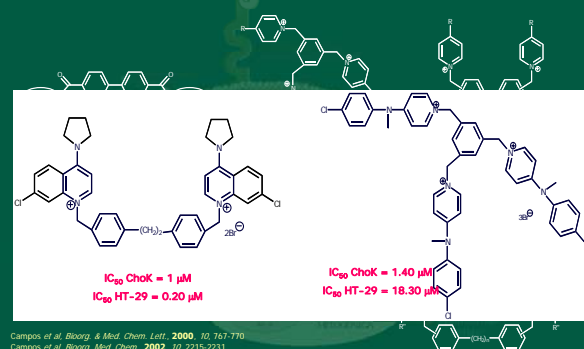
	1mg/kg	Supervivencia /total	5 mg/kg	Supervivencia /total
RSM-33	1.28	4/4	6.40	4/4
RSM-34	1.20	3/4	6.00	4/4
RSM-35	1.10	4/4	5.52	3/4

Límite del ensayo de toxicidad

Máxima dosis tolerada en los ensayos *in vivo*

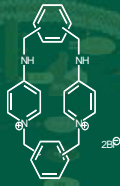
	1mg/kg	Supervivencia /total	5 mg/kg	Supervivencia /total
RSM-33	1.28	4/4	6.40	4/4
RSM-34	1.20	3/4	6.00	4/4
RSM-35	1.10	4/4	5.52	3/4

Background



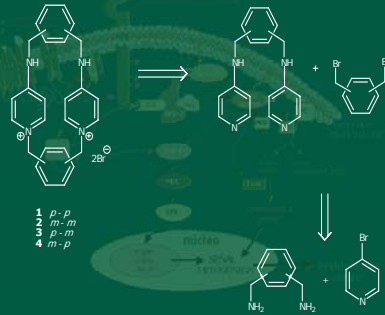
Campos et al. *Bioorg. Med. Chem. Lett.* **2000**, 10, 767-770
 Campos et al. *Bioorg. Med. Chem.* **2002**, 10, 2215-2221
 Campos et al. *Resour. Res. Devel. Medicinal Chem.* **2001**, 1, 173-188
 Conejo-García et al. *Eur. J. Med. Chem.* **2003**, 38, 1091-116
 Conejo-García et al. *J. Med. Chem.* **2004**, 47, 5433-5440
 Sánchez-Martín et al. *J. Med. Chem.* **2005**, 48, 3354-3363

How the rigidity increase affects to the activity: bispyridinium cyclophanes



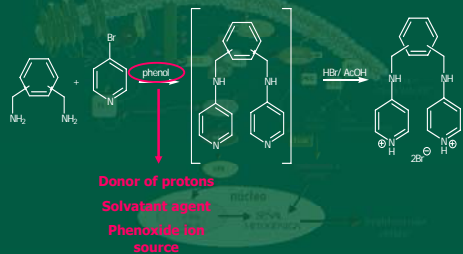
Isomers: *p-p*, *m-m*, *p-m*, *m-p*

Bispyridinium Cyclophanes



Synthesis of bispyridinium cyclophanes

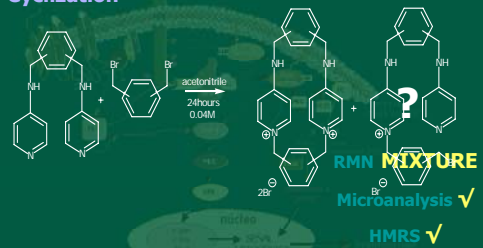
Intermediates



Conejo-García et al., *J. Med. Chem.* **2003**, *46*, 3754-3757

Synthesis of bispyridinium cyclophanes

Cyclization



Synthesis

Synthesis of bispyridinium cyclophanes

↑
Disolution of the intermediates

Compound	Solvent	Dilution (M)	Time	Purification	Yield
1	acetonitrile	0.04	24 hours	Impossible	Mixture 50%
2	acetonitrile	0.02	24 hours	Recrystallization	60.4%
3	acetonitrile	0.02	24 hours	Recrystallization	51.3%
4	acetonitrile	0.01	24 hours	Recrystallization	54.8%
1	acetonitrile	0.004	3 days	Not necessary	90.3%
1	ethanol	0.004	12 days	Not necessary	N. D.

Biological results and discussion

Biological assays

Prof. Lecal, Institute of Biomedical Investigations

- *ex vivo* IC₅₀ ChoK (human)
- *in vitro* IC₅₀ HT-29

Biological results and discussion

Bispyridinium cyclophanes (SAR)

Compound	Isomer	IC ₅₀ ChoK (µM)	IC ₅₀ HT-29 (µM)
4	<i>p-p</i>	0.3	28.82
1	<i>p-p</i>	2.1	36.9
2	<i>m-m</i>	13.2	>100
3	<i>p-m</i>	24.8	58.6

An increase of the rigidity leads to an increase of the activity

SUBSTITUTION MODEL OF THE LINKERS

Lower ring: 1,4-benzene

Upper ring: 1,3-benzene

}

↑
ChoK inhibitory activity

Conejo-Garcia et al., *J. Med. Chem.* 2003, 46, 3754-3757

Molecular modelling

Bispyridinium cyclophanes (SAR)

Compound	Isomer	IC ₅₀ ChoK (µM)	IC ₅₀ HT-29 (µM)	Distance N ⁺ -N ⁺ (Å)
4	<i>p-p</i>	0.3	28.82	6.21
1	<i>p-p</i>	2.1	36.9	6.41
2	<i>m-m</i>	13.2	>100	5.14
3	<i>p-m</i>	24.8	58.6	5.25

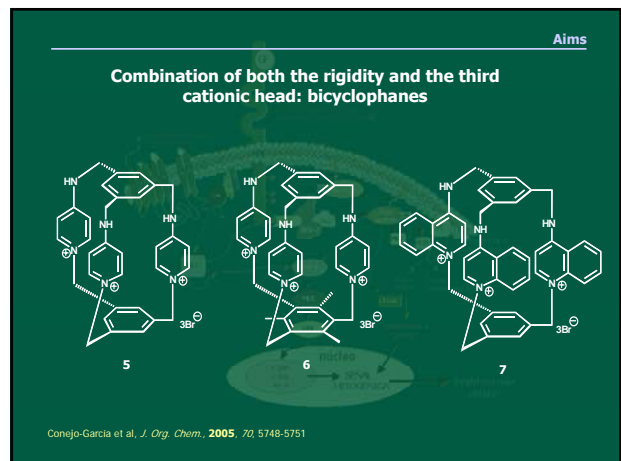
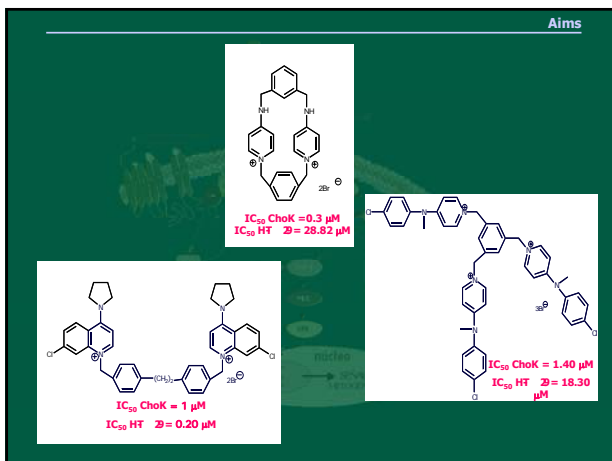
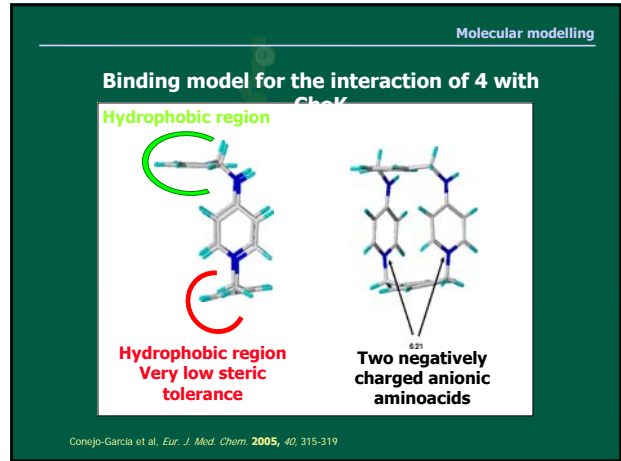
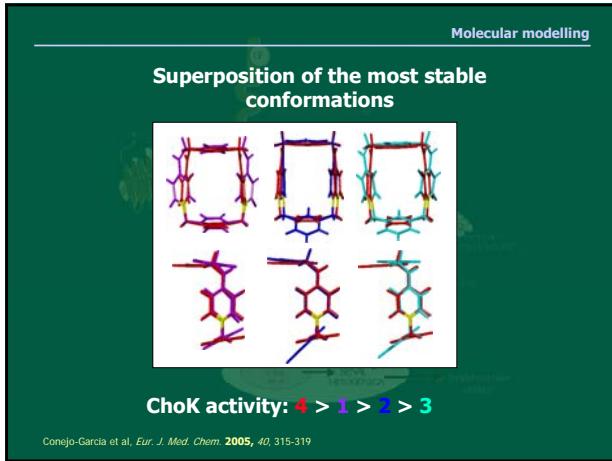
Bispyridinium cyclophanes are useful pharmacological tools for the further investigation of ChoK inhibitors as antiproliferative agents

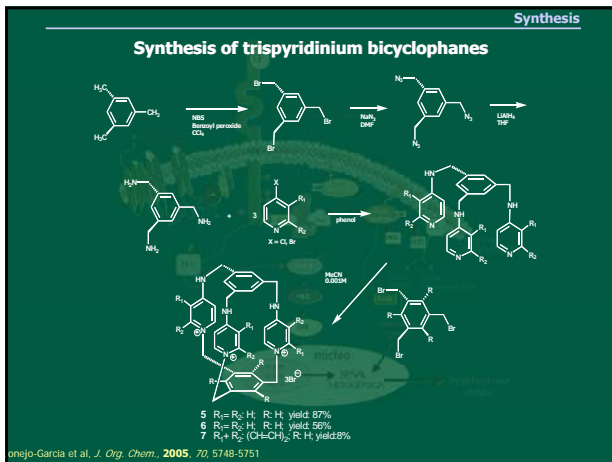
Study the conformational behaviour to establish SAR

Order of activity following distance

Distance between the positively charged nitrogens is crucial for the inhibition

4 (6.21 Å) > 1 (6.41 Å) > 3 (5.25 Å) > 2 (5.14 Å)





Biological results and discussion

Biological assays

Compounds 5-7 proved to be inactive as ChoK Inhibitors